

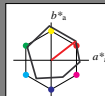
Eingabe: Farbmetrisches Offset-Refektiv-System ORS18

für Buntton $h^* = lab^*h = 38/360 = 0.105$ lab^*tch und lab^*nch

D50: Buntton O

LCH*Ma: 48 82 38

oly*Ma: 1.0 0.0 0.0

Dreiecks-Helligkeit t^* 

%Umfang

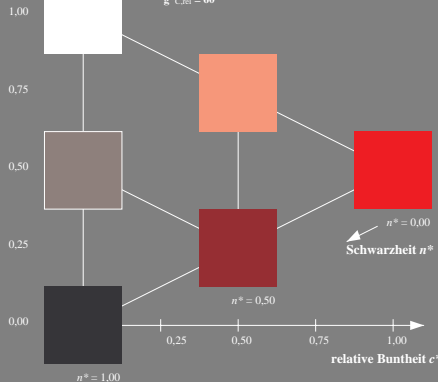
 $u^*_{rel} = 94$

%Regularität

 $g^*_{H,rel} = 65$ $g^*_{C,rel} = 60$

ORS18; adaptierte CIELAB-Daten

	$L^*=L^*_a$	a^*_a	b^*_a	$C^*_{ab,a}$	$h^*_{ab,a}$
O _{Ma}	47.94	65.05	50.54	82.38	38
Y _{Ma}	91.0	-4.72	90.58	90.7	93
L _{Ma}	50.9	-63.18	34.98	72.22	151
C _{Ma}	56.99	-39.34	-48.1	62.16	231
V _{Ma}	25.72	30.89	-44.4	54.09	305
M _{Ma}	49.99	75.76	-4.64	75.9	356
N _{Ma}	18.09	0.0	0.0	0.0	0
W _{Ma}	95.46	0.0	0.0	0.0	0
R _{CIE}	41.88	61.66	30.69	68.88	26
J _{CIE}	81.97	2.02	67.79	67.82	88
G _{CIE}	51.62	-41.32	9.74	42.46	167
B _{CIE}	29.2	-5.79	-49.61	49.96	263



Ausgabe: Farbmetrisches Fernseh-Licht-System TLS00

für Buntton $h^* = lab^*h = 38/360 = 0.107$ lab^*tch und lab^*nch

D50: Buntton O

LCH*Ma: 54 101 38

oly*Ma: 1.0 0.0 0.0

Dreiecks-Helligkeit t^* 

%Umfang

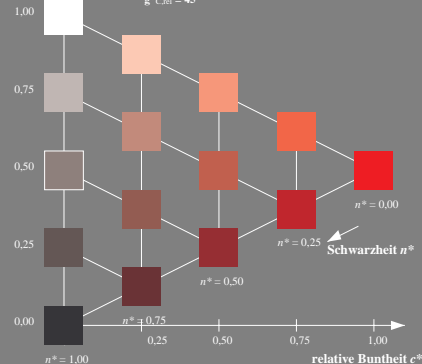
 $u^*_{rel} = 156$

%Regularität

 $g^*_{H,rel} = 26$ $g^*_{C,rel} = 45$

TLS00; adaptierte CIELAB-Daten

	$L^*=L^*_a$	a^*_a	b^*_a	$C^*_{ab,a}$	$h^*_{ab,a}$
O _{Ma}	54.19	79.36	63.0	101.33	38
Y _{Ma}	93.44	-14.18	82.59	83.8	100
L _{Ma}	82.82	-83.73	70.41	109.41	140
C _{Ma}	85.22	-55.9	-15.78	58.1	196
V _{Ma}	25.61	67.05	-108.87	127.87	302
M _{Ma}	58.76	91.18	-53.69	105.82	302
N _{Ma}	0.01	0.0	0.0	0.0	0
W _{Ma}	95.41	0.0	0.0	0.0	0
R _{CIE}	41.88	62.0	31.82	69.69	27
J _{CIE}	81.97	1.81	71.59	71.61	89
G _{CIE}	51.62	-41.11	11.52	42.7	164
B _{CIE}	29.2	-5.27	-49.33	49.62	264



QG600-7, 3stufige Reihen für konstanten CIELAB Buntton 38/360 = 0.105 (links)

5stufige Reihen für konstanten CIELAB Buntton 38/360 = 0.107 (rechts)

BAM-Prüfvorlage QG60; Farbmetrik-Systeme ORS18 & TLS00 input: cmy0* setcmykcolor
D50: 3 und 5stufige Farbreihen für 10 Bunttöne

output: no change compared to input